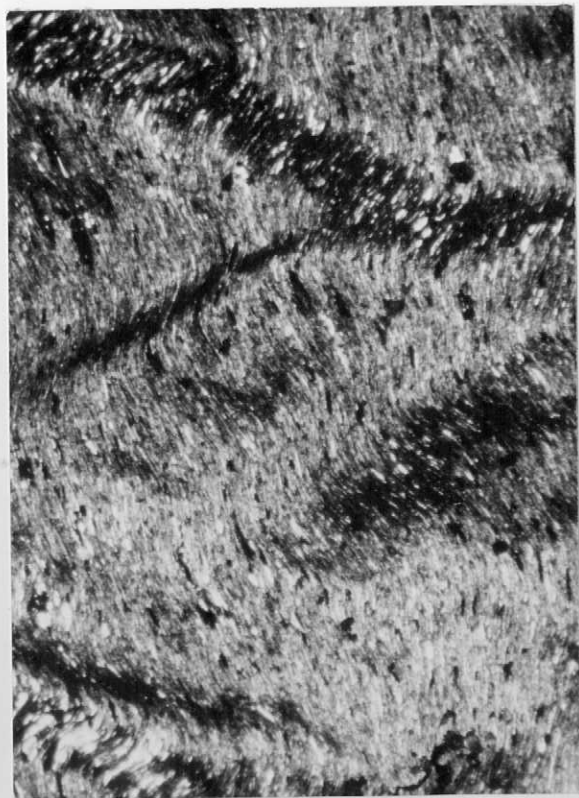


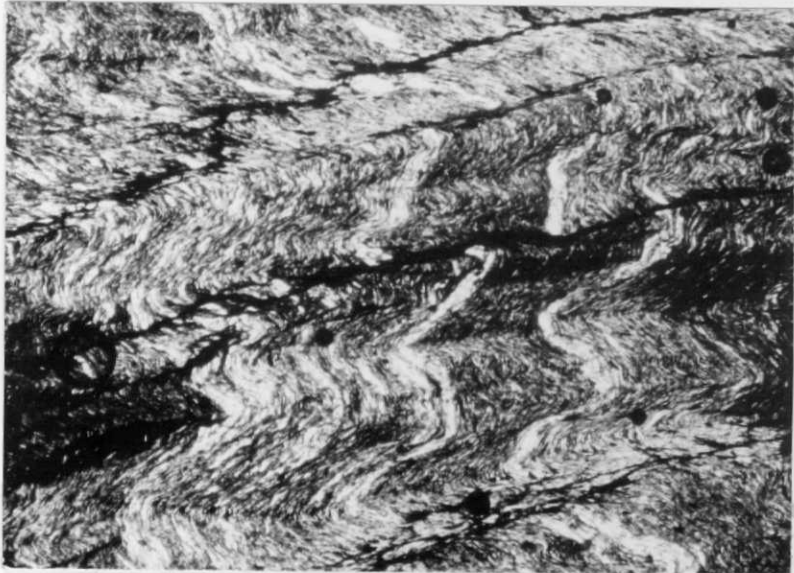
FOTOGRAFIAS DE LAMINAS DELGADAS

=====

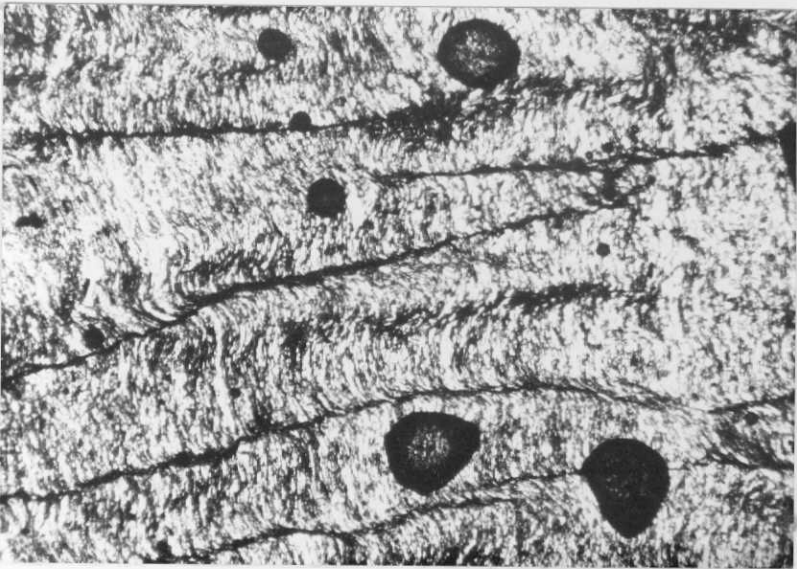
09-11-AD-IP-1027. - x38.

Esquistosidades S_2 conjugadas.

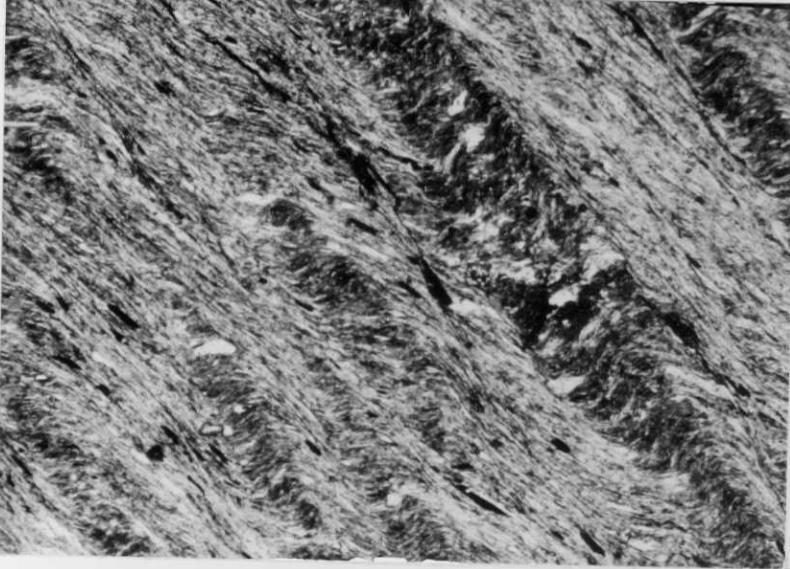




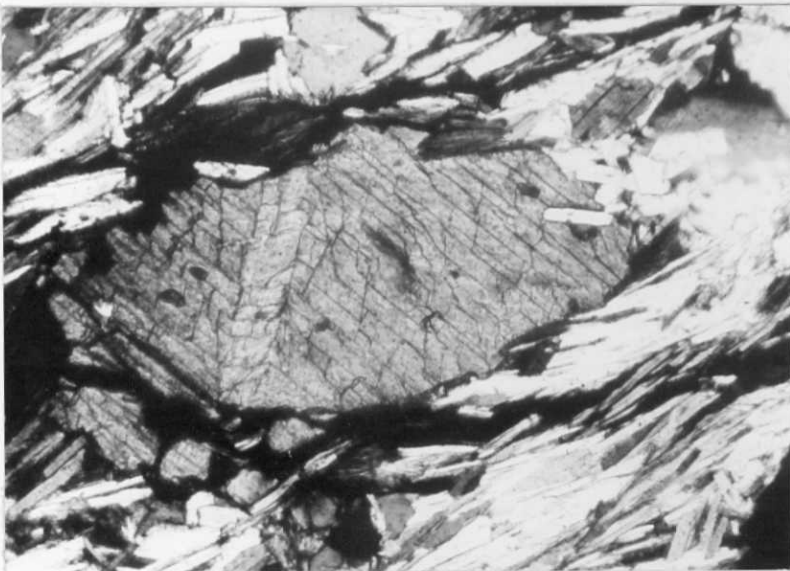
09-11-AD-IP-1029.- x38. Esquistrosidad de crenulación de fase 2. Observar el desplazamiento aparente de los niveles claros (más cuarcíticos) que ponen en evidencia un fenómeno de disolución en la formación de esta esquistrosidad. Obsérvese igualmente los planos de S_2 llenos de minerales opacos ligados - al mismo fenómeno.



09-11-AD-IP-1029.- x38. Esquistosidad de crenulación S_2 con planos irregulares y discontinuos ocupados por minerales opacos.

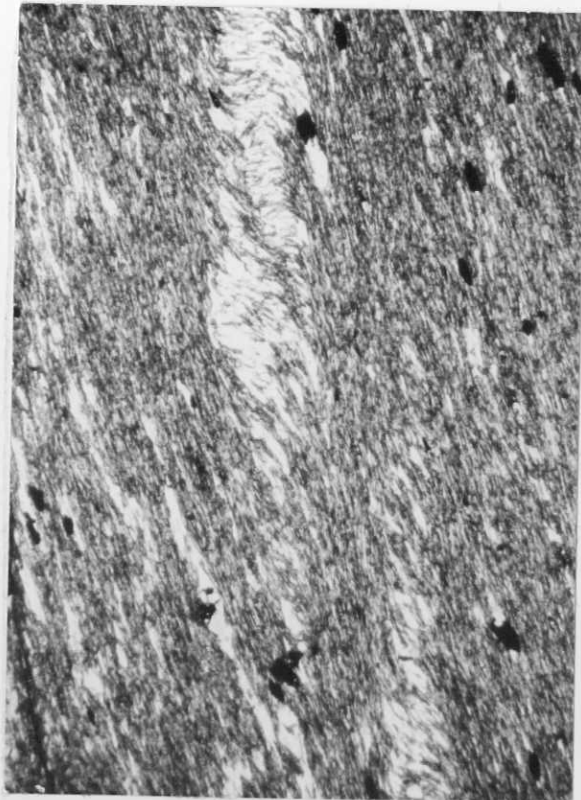


09-11-AD-IP-1048.- x97. El mismo fenómeno de la fotografía anterior, pero con enriquecimientos de biotita en las charnelas.

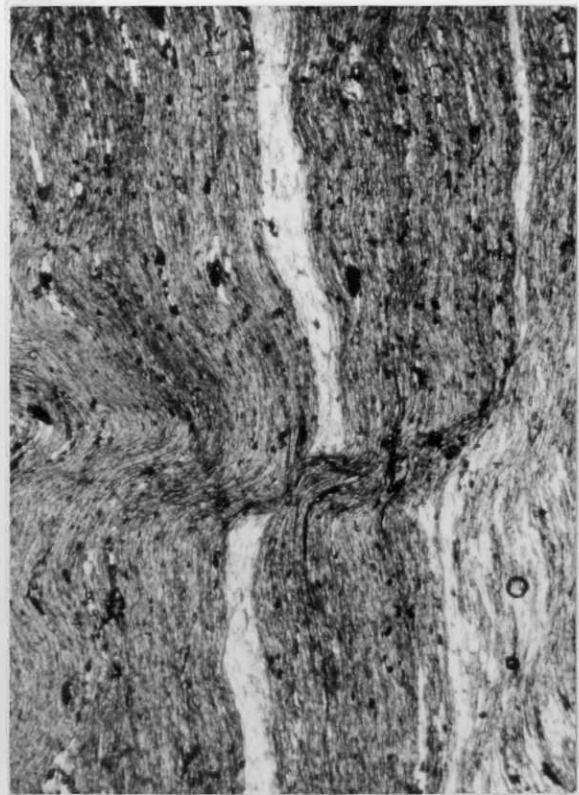


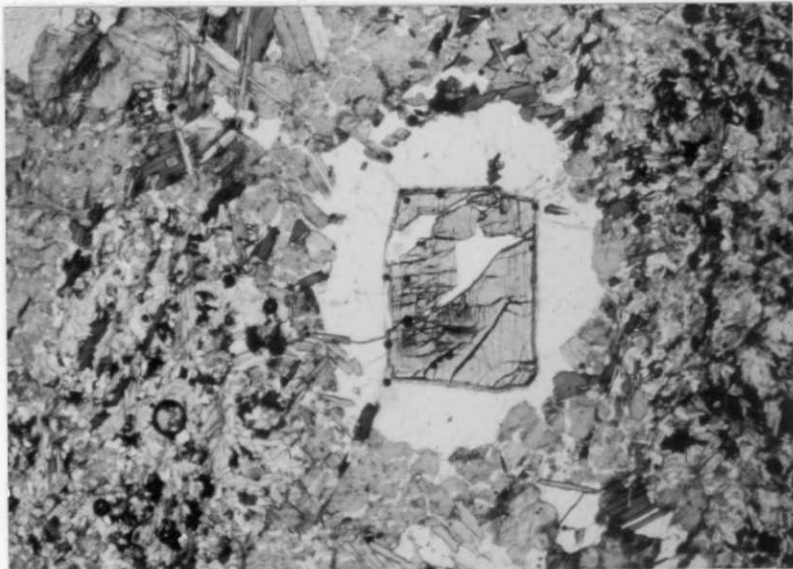
09-11-AD-IP-1049.- x246. Clinozoisita en "Ollo de sapo". Ob-
sérvese el kink que deforma el clivage de la epidota.

09-11-AD-IP-1052. - x38. Esquistosidad de crenulación S_2 . En este ejemplo los micropliegues de fase 2 que crenulan la S_1 - son pliegues de amplitud variable y en las charnelas hay acumulación de cuarzo.

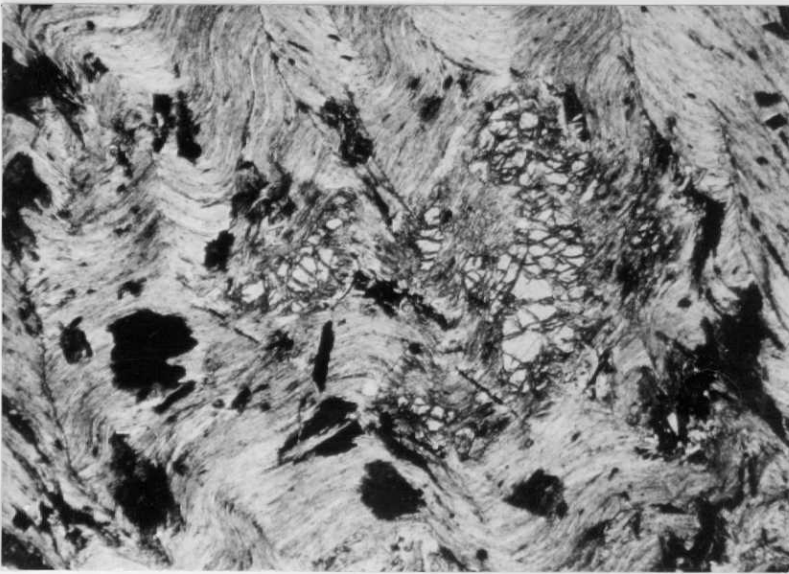


09-11-AD-IP-1056. - x38. Crenulación de fase 2. Obsérvese la disolución de una parte del nivel más claro (más rico en cuarzo) en las inmediaciones del plano S_2 .

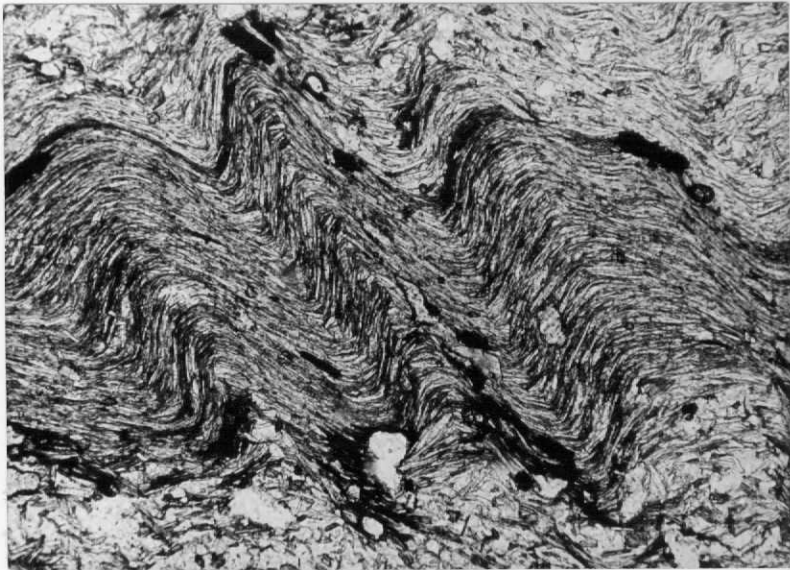




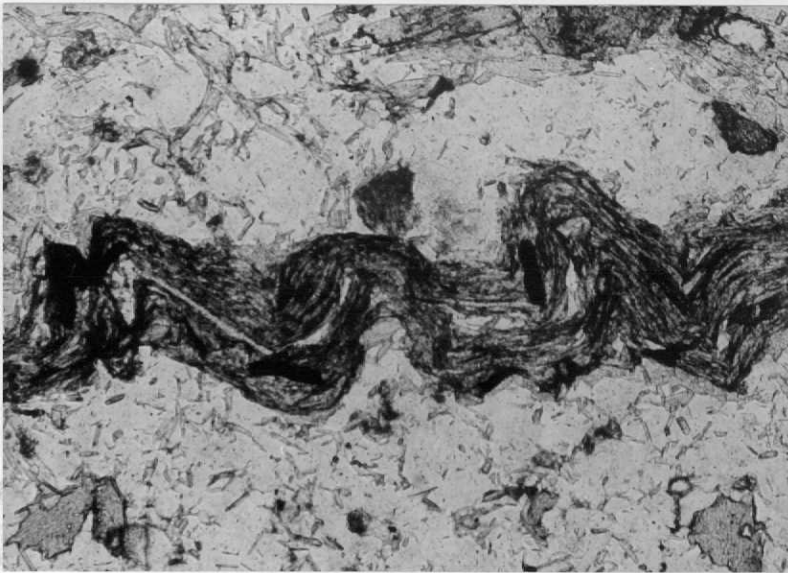
09-11-AD-IP-1061.- x38. Andalucita de metamorfismo de contacto en el "Ollo de sapo" de grano fino (PC). Alrededor del cristal puede apreciarse una aureola de cuarzo, y otra más externa de feldespato potásico con algo de biotita. En el contacto cuarzo-andalucita hay un borde de un mineral micáceo, quizás pirofilita.



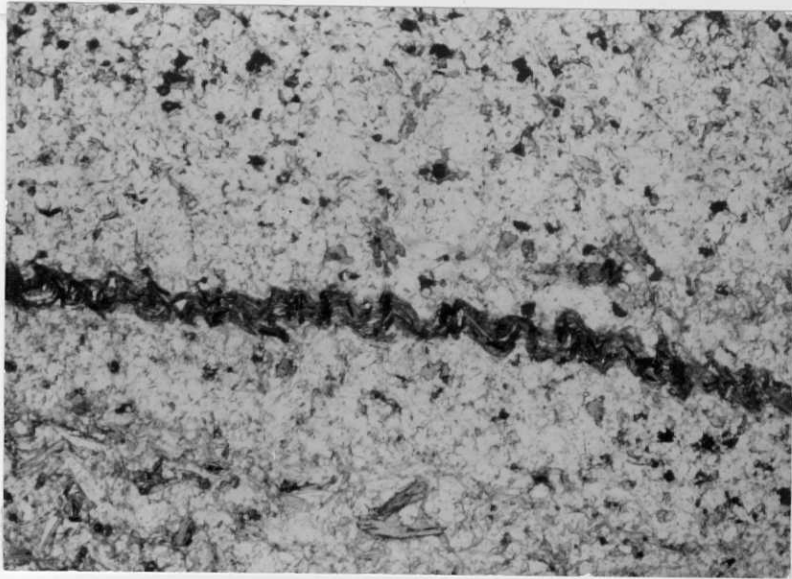
09-11-AD-IP-1100.- x38. Andalucita de metamorfismo de contacto de la granodiorita de La Vega, posterior a la crenulación de fase 2.



09-11-AD-IP-1227.- x97. Detalle de la anterior. Obsérvese la no existencia de arcos poligonales.



09-11-AD-IP-1141.- x246. Detalle de la anterior. Obsérvese la diferente geometría de los micropliegues.

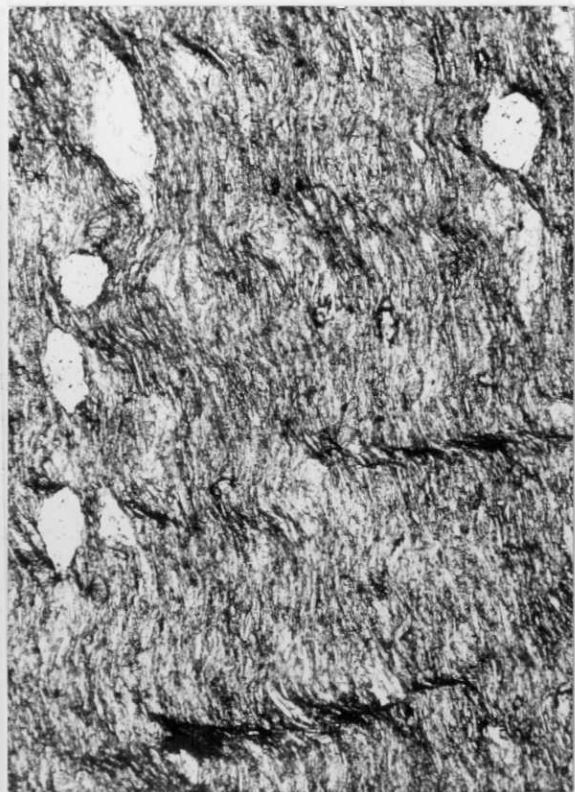


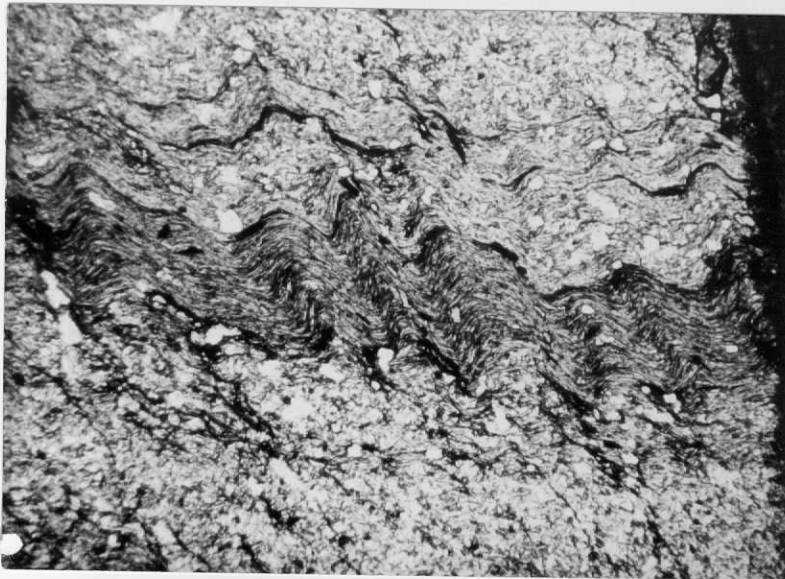
09-11-AD-IP-1141.- x38. Crenulación de nivel micáceo entre dos niveles más cuarcíticos.



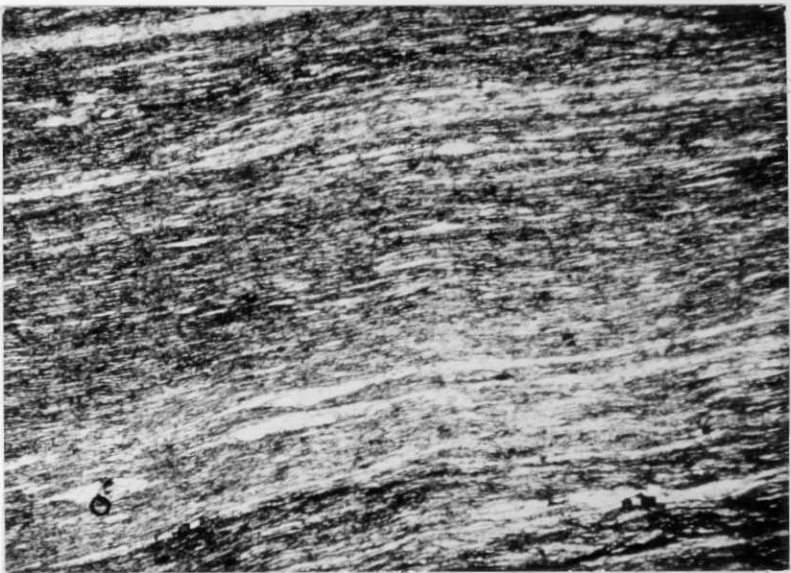
09-11-AD-IP-1141.- x97. Detalle de la anterior.

09-11-AD-IP-1151. - x38. Esquistosidad de crenulación S_2 . Comienza a expresarse los planos de esquistosidad S_2 en algunos flancos de los micropliegues.

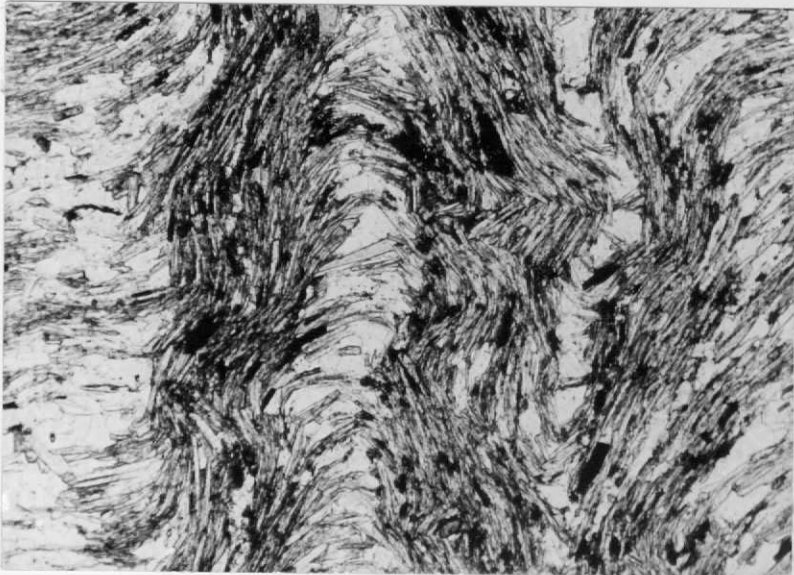




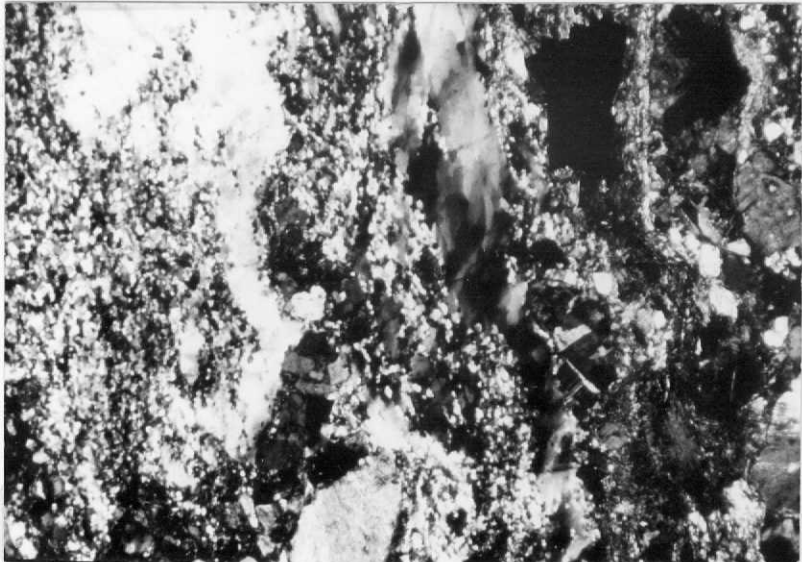
09-11-AD-IP-1227.- x38. Crenulación de nivel micáceo sin cuarzo, entre dos niveles más competentes.



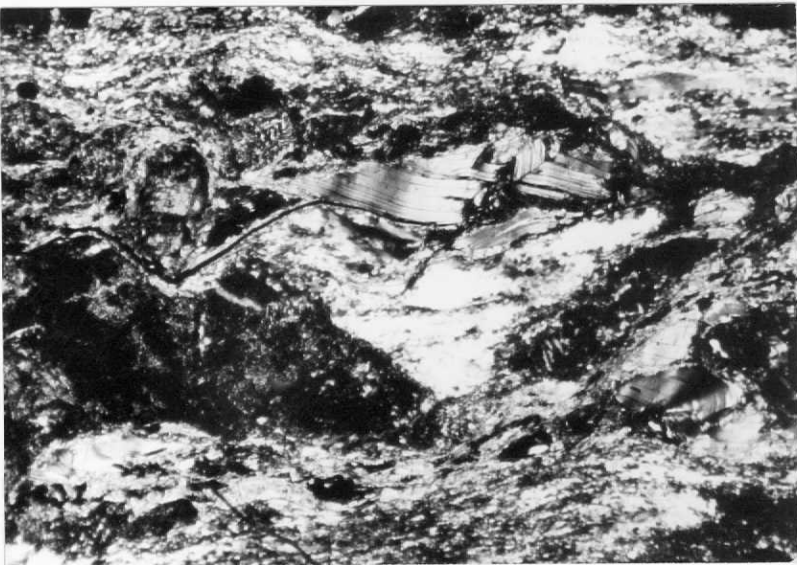
09-11-AD-IP-1228.- x38. Esquistrosidad de flujo de la fase de deformación principal, señalada por la orientación de las mi-cas y aplastamiento de los granos de cuarzo. Obsérvese el lige-ro buckling ligado a la deformación de fase 2. Sería el comien-zo de la crenulación asociada a esta fase.



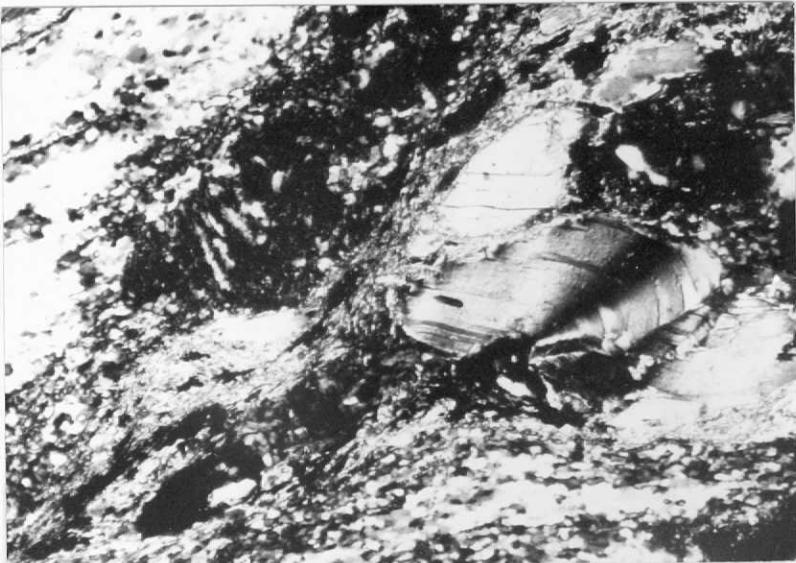
09-11-AD-IP-1103.- x97. Una débil crenulación tardía deforma micropliegues de fase 2.



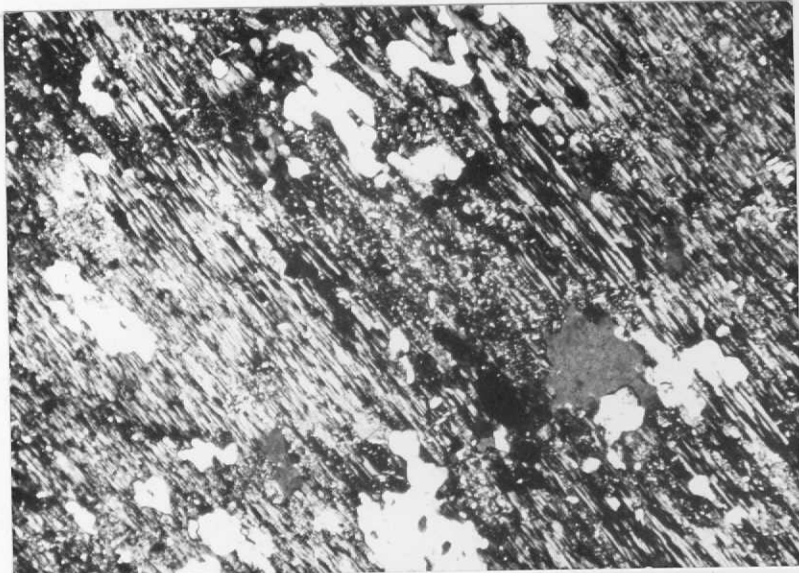
09-11-AD-RV-167.- x38. Detalle de la anterior. Cuarzos con los bordes recristalizados y deformados intensamente en el - interior.



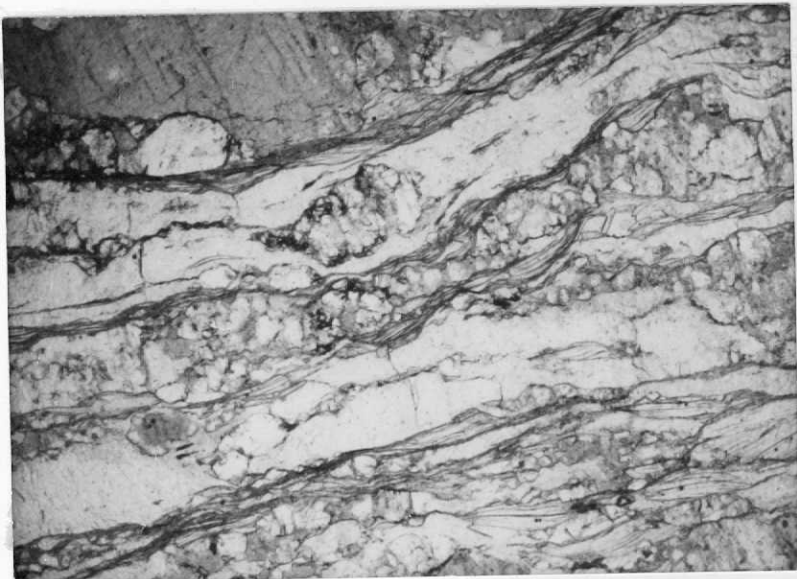
09-11-AD-RV-167.- x38. Granito orientado. Cuarzo en mortero,
kinks en las moscovitas y recristalizaciones en los bordes.



09-11-AD-RV-167.- x97. Detalle de la anterior. Obsérvense las recristalizaciones de moscovita en los bordes de los grandes cristales deformados y en los planos de kink.



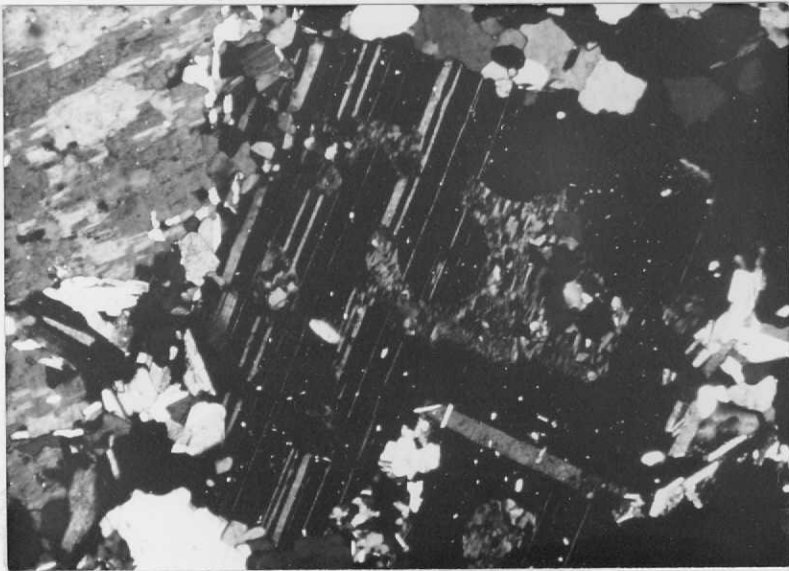
09-11-AD-RV-179.- x97. Albita con macla en damero e inclusio
nes de cuarzo ameboide. Quedan restos de feldespato potásico.



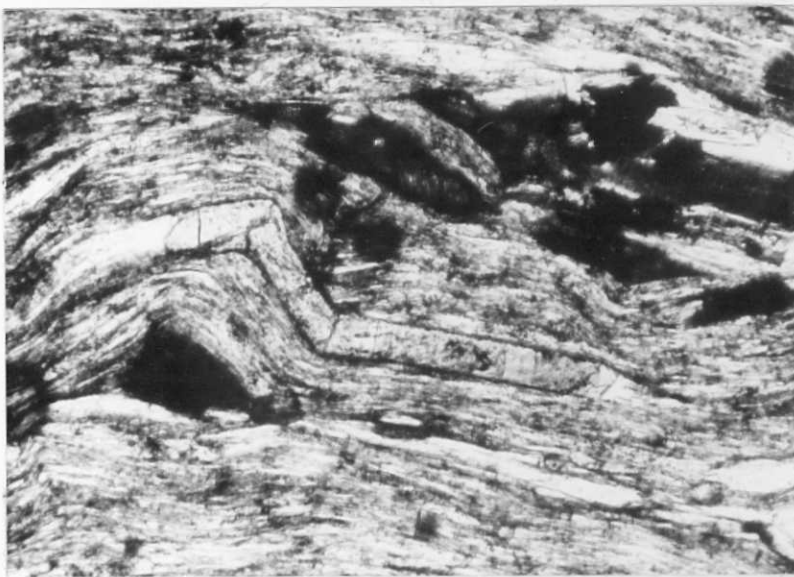
09-11-AD-RV-186.- x38. Bandeado de origen tectónico en un gra
nito de dos micas orientado.



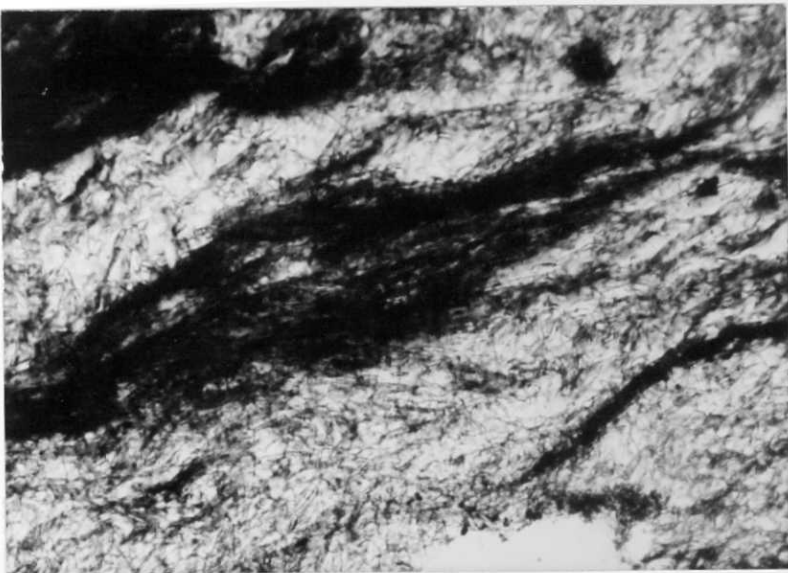
09-11-AD-RV-186.- x38. Idem. Obsérvese los cuarzos en mortero y las recristalizaciones en los bordes de los cristales de moscovita.



09-11-AD-RV-193.- x97. Plagioclasa que incluye a feldespato potásico parcialmente, con macla en damero.



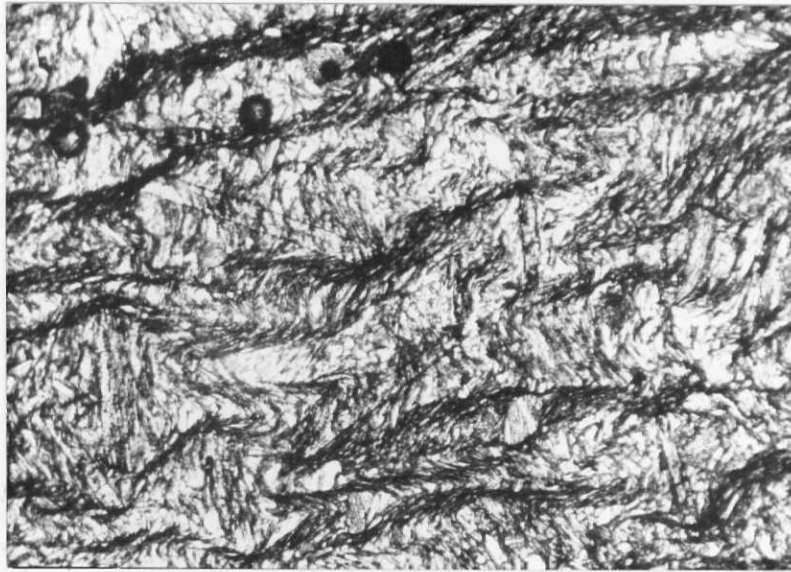
09-11-AD-RV-194.- x246. Cristal de turmalina paralelo a la es
quistosidad principal y deformado durante la fase 2.



09-11-AD-RV-205.- x246. Possible reacción cloritoide → biotita.
Las zonas claras dentro de la masa oscura de biotita con restos
de cloritoide.



09-11-AD-RV-206.- x246. Detalle de la anterior, obsérvese la S₁ recta dentro del cristal de cloritoide.



09-11-AD-RV-206.- x97. Cloritoïdes que han crecido posteriormente a la fase de deformación principal y anteriores a la creñulación de fase 2.